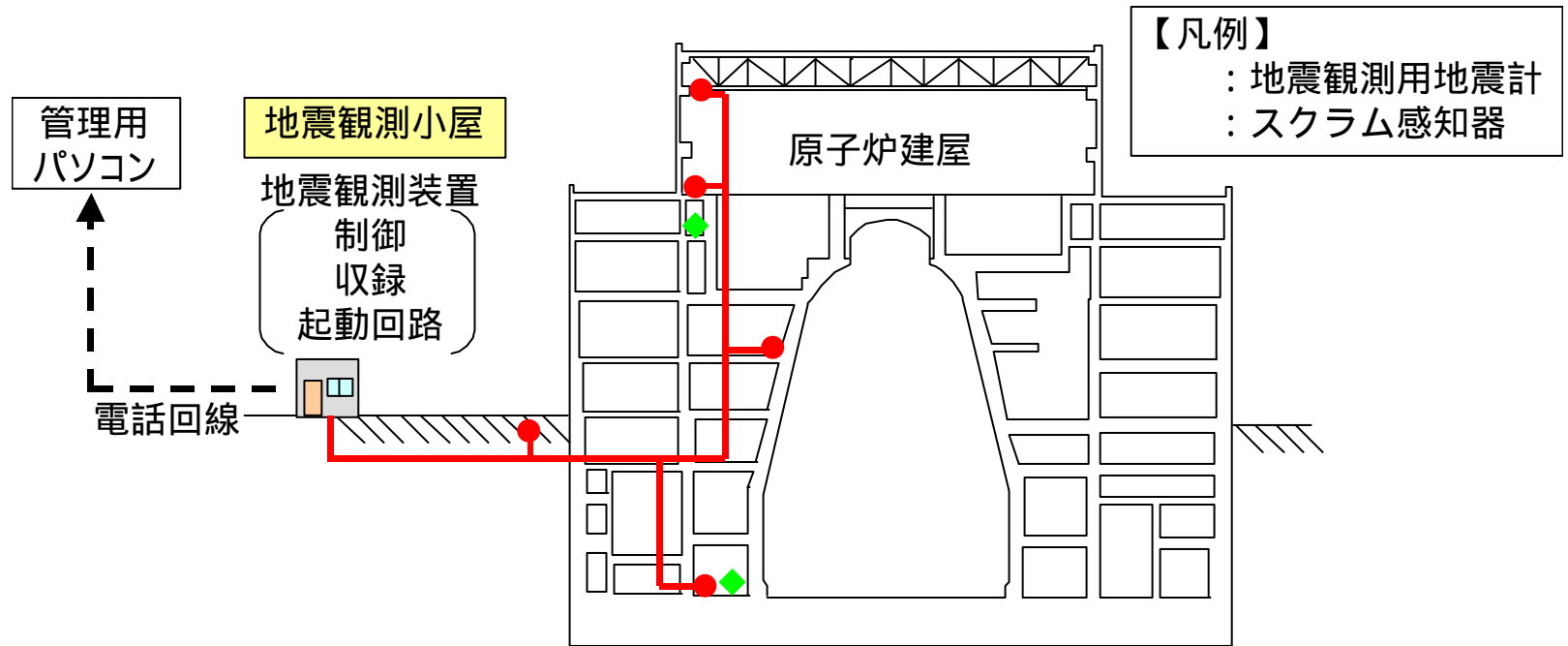


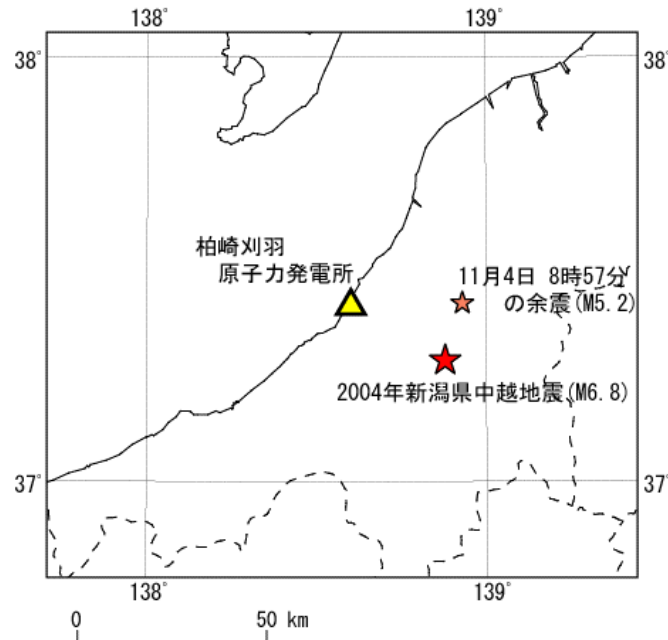
地震観測用地震計とスクラム感知器



| | 地震観測用地震計 | スクラム感知器 |
|------|------------|------------|
| 主な目的 | 耐震設計の妥当性検証 | 原子炉の緊急停止 |
| 設置範囲 | 1, 5, 6号機 | 全号機のR / B内 |
| 地震計 | 電気式 | 機械式 |

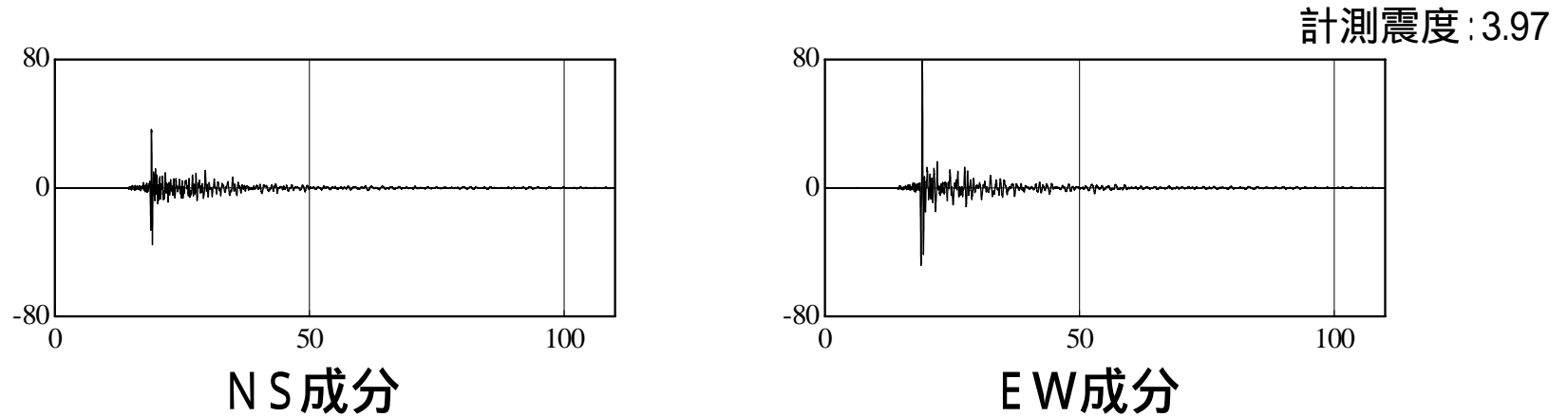
6号機原子炉建屋基礎マット上端部における 本震時及び余震時の観測記録の比較

| 地震諸元 | | | | 最大加速度(ガル) | | | 最大速度(カイン) | | | 計測震度 |
|-----------------|---------|----------|----------|-----------|------|------|-----------|------|-----|------|
| 発震日時 | マグニチュード | 震央距離(km) | 震源深さ(km) | NS | EW | UD | NS | EW | UD | |
| 11/04 08:57(余震) | 5.2 | 28 | 18 | 36.5 | 79.0 | 38.3 | 2.7 | 7.1 | 2.0 | 3.97 |
| 10/23 17:56(本震) | 6.8 | 28 | 13 | 34.2 | 59.2 | 68.0 | 8.5 | 11.1 | 6.1 | 4.21 |

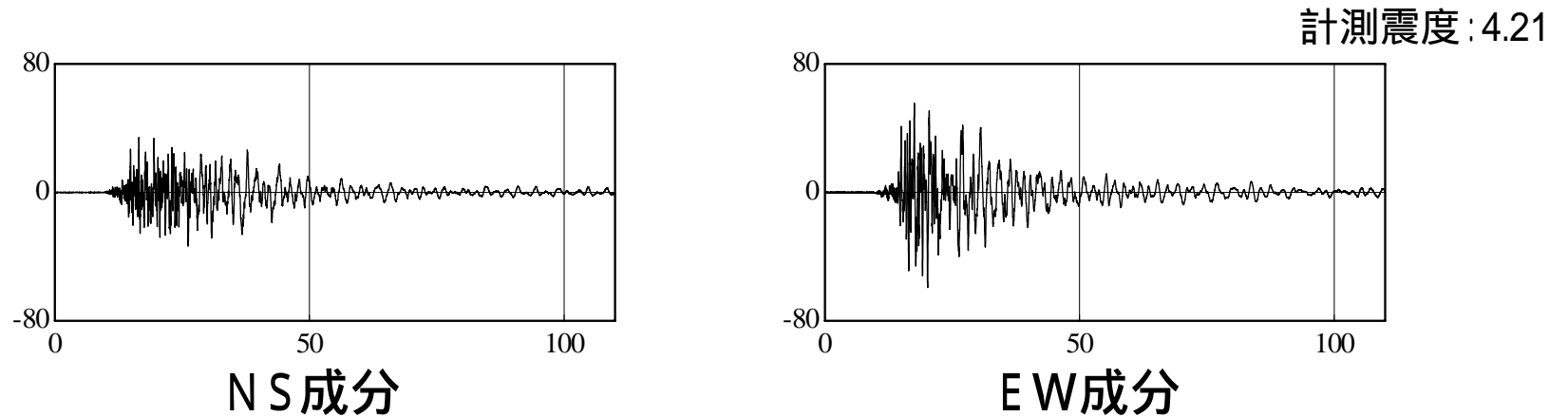


本震と余震の震央分布

6号機原子炉建屋での加速度波形

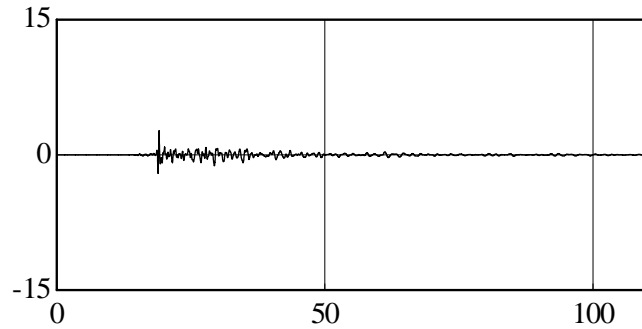


11月4日08:57(余震)

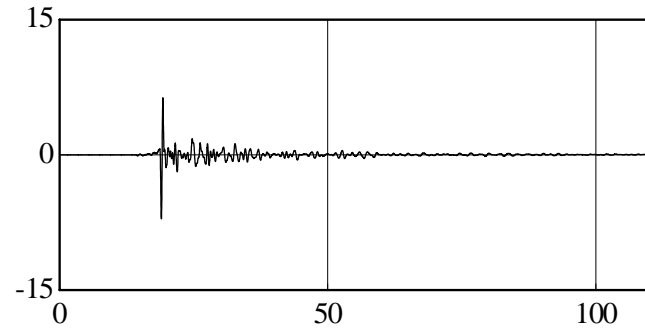


10月23日17:56(本震)

6号機原子炉建屋での速度波形

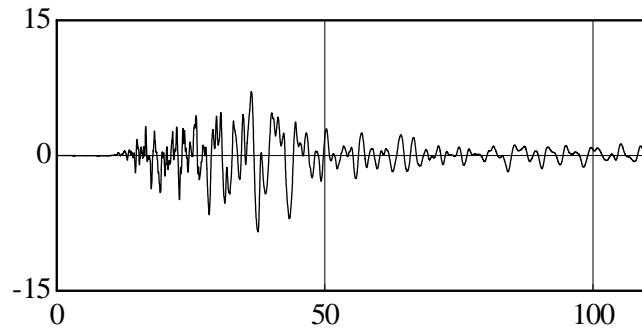


NS成分

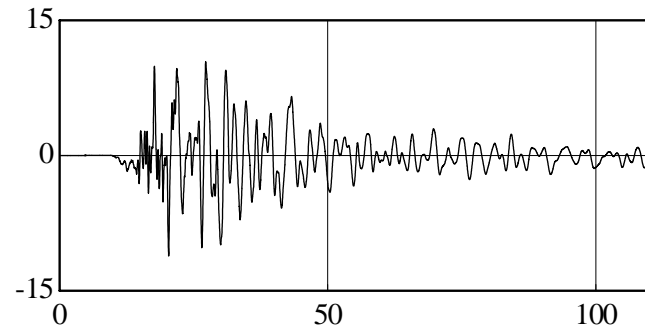


EW成分

11月4日08:57(余震)



NS成分

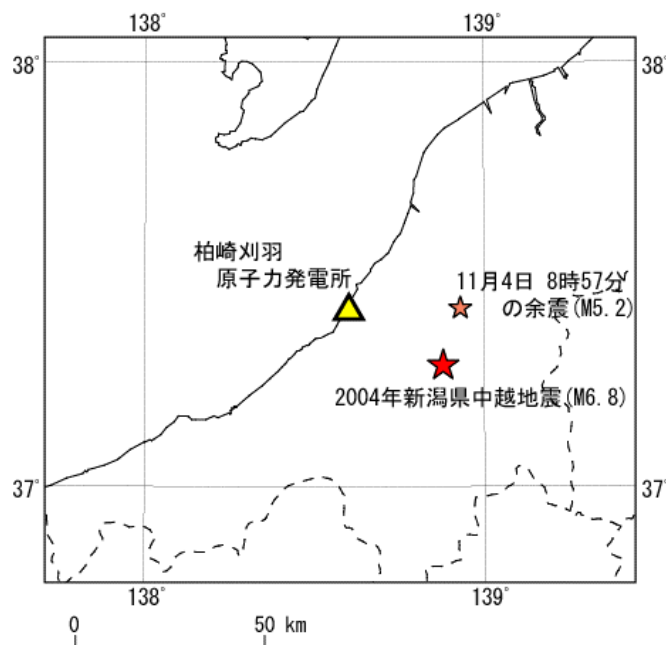


EW成分

10月23日17:56(本震)

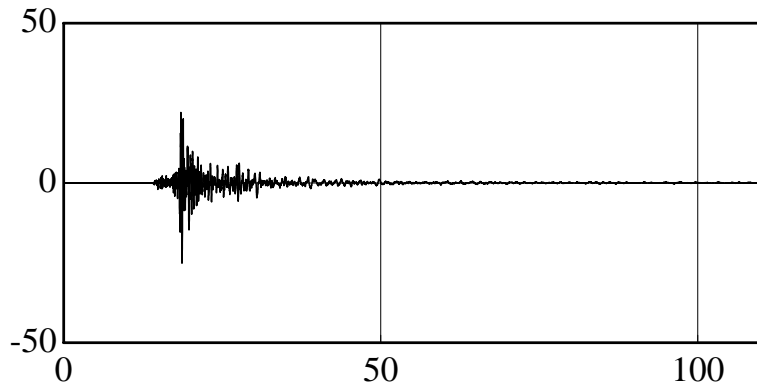
岩盤における本震時及び余震時の観測記録の比較

| 地震諸元 | | | | 最大加速度(ガル) | | | 最大速度(カイン) | | | 金井式 (カイン) |
|-----------------|-------------|--------------|--------------|-----------|------|------|-----------|-----|-----|--------------|
| 発震日時 | マグニ チュード | 震央距離 (km) | 震源深さ (km) | NS | EW | UD | NS | EW | UD | |
| 11/04 08:57(余震) | 5.2 | 28 | 18 | 25.1 | 37.3 | 18.3 | 1.1 | 3.5 | 1.2 | 0.63 |
| 10/23 17:56(本震) | 6.8 | 28 | 13 | 24.0 | 44.3 | 30.2 | 6.0 | 5.5 | 6.5 | 6.44 |

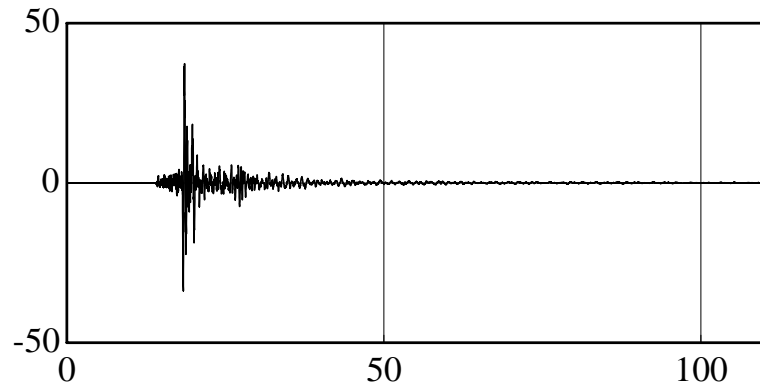


本震と余震の震央分布

岩盤での加速度波形

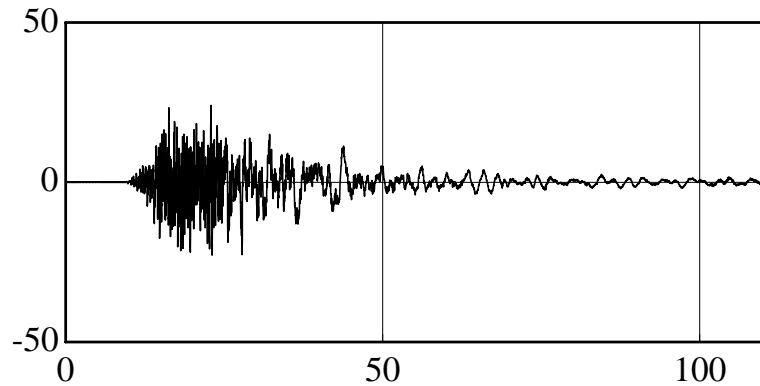


NS成分

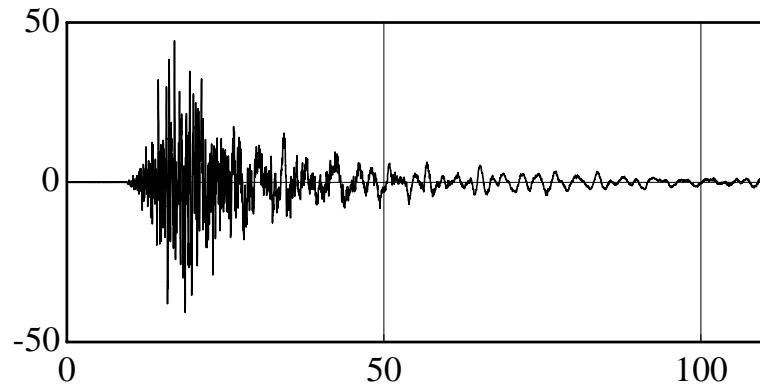


EW成分

11月4日08:57(余震)



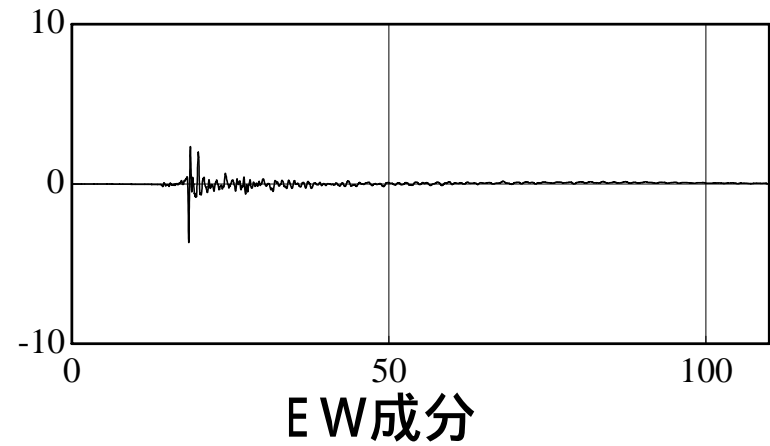
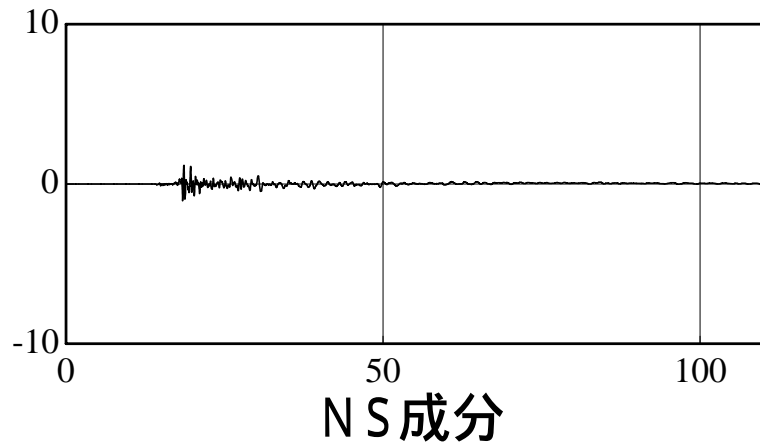
NS成分



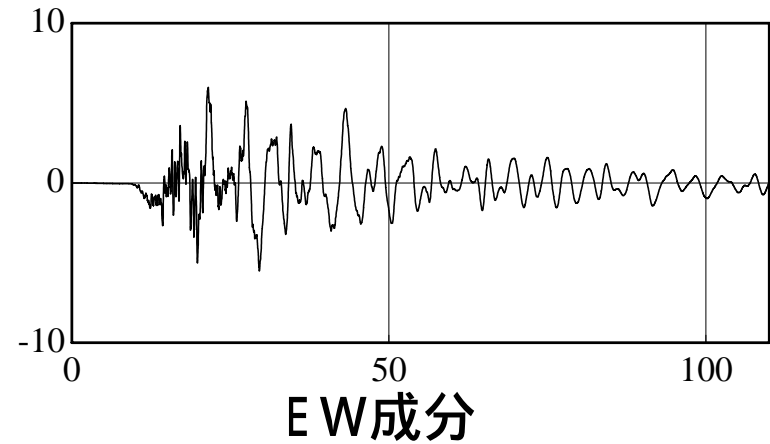
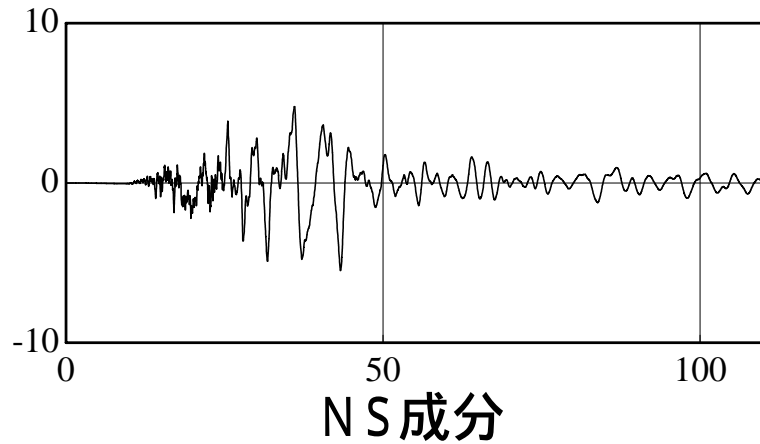
EW成分

10月23日17:56(本震)

岩盤での速度波形



11月4日08:57(余震)



10月23日17:56(本震)